



یک رویکرد فعال مبتنی بر تخمین خطای جهت طراحی کنترل کننده های تحمل پذیر خطای

مهندی پزشکیان^۱، محمد جواد خسروجردی^۲

^۱ کارشناسی ارشد کنترل دانشگاه صنعتی سهند تبریز، m_pezeshkian@sut.ac.ir

^۲ استادیار، گروه کنترل دانشکده مهندسی برق، دانشگاه صنعتی سهند تبریز، khosrowjerdi@sut.ac.ir

(تاریخ دریافت مقاله ۱۳۸۸/۷/۲۵، تاریخ پذیرش مقاله ۱۳۸۸/۱۱/۲۵)

چکیده: در این مقاله یک رویکرد فعال جهت طراحی کنترل کننده تحمل پذیر خطای (FTC) مبتنی بر استفاده از رویکردن دینامیکی جهت تخمین همزمان خطای محرك (سیستم) و حالتها ارایه می گردد. مزیت اعمده استفاده از رویکردن دینامیکی در تبدیل مساله تخمین همزمان خطای و حالتها به حل یک مساله کنترل مقاوم بدون نیاز به افزایش غیر ضروری مرتبه سیستم می باشد. در رویکرد ارائه شده، ساختار کنترل کننده ثابت است و نیازی به پیکربندی دوباره آن جهت جبران و یا تحمل خطای رخداده شده در محركها و اجزای مختلف سیستم نمی باشد و لذا از سادگی قابل ملاحظه ای به منظور پیاده سازی عملی برخوردار است. همچنین قانون کنترل تابعی خطی از تخمین خطای و حالتهای سیستم است و بگونه ای طراحی می شود که ضمن تضمین پایداری سیستم حلقه بسته مانع از افت عملکرد آن در حضور خطای و اغتشاش گردد. درنهایت یک الگوریتم ساختار یافته جهت طراحی FTC مبتنی بر نامساوی ماتریسی خطی (LMI) ارایه می گردد. همچنین در قالب یک مثال شبیه سازی، کارایی روش ارایه شده روی فرآیند چهار تانک نشان داده می شود.

واژه های کلیدی: کنترل کننده تحمل پذیر خطای، تخمین خطای، تشخیص خطای، نامساوی ماتریسی خطی (LMI)، رویکردن دینامیکی

A Fault Estimation-based Approach to Active Fault Tolerant Controller Design

Mahdi Pezeshkian, Mohammad Javad Khosrowjerdi

Abstract: In this paper, an active approach for designing Fault Tolerant Controller (FTC) is proposed. This approach utilizes the idea of dynamical observer for simultaneous estimation of system states and faults. The main advantage of the dynamical observer is looking at the simultaneous estimation of system states and faults purely as a robust control problem. In this proposed approach, the controller has a fixed structure and there is no need to reconfiguration of the controller to accommodate or compensate the effect of the faults occurred in the system which makes the proposed approach practical for real systems. The control law is a linear function of the system states and estimated faults and is designed to keep the closed loop system asymptotically stable and the performance of the closed loop system in an acceptable level in the presence of faults and disturbances. A constructive algorithm based on Linear Matrix Inequality (LMI) is presented for FTC design. The merit of the proposed control scheme has been verified by the simulation on the four-tank process subjected to the actuator faults.

Keywords: Fault Tolerant Controller (FTC), Fault Reconstruction, Fault Detection and Isolation (FDI), Linear Matrix Inequality (LMI), Dynamical Observer.

که مورد توجه ویژه صنعت و پژوهشگران قرار گرفته است. بروز خطای

در اجزای مختلف چنین سیستم هایی می تواند باعث افت عملکرد و حتی

باعث ناپایداری آن گردد. قطعی سنسور یا خرابی آن، خرابی محرك یا

افت عملکرد آن و خرابی اجزای داخلی فرآیندها می تواند از جمله

- مقدمه

در سالهای اخیر با پیشرفت تکنولوژی و پیچیده تر شدن سیستم های

کنترلی، قابلیت اطمینان اینگونه سیستم ها از مهمترین موضوعاتی است

خطای سنسور [۱۶-۱۷]، استفاده از ایده سیستم‌های توصیفی [۱۸-۱۹] اشاره نمود. در [۱۷] و [۲۰] از ایده سنسور مجازی جهت جبران خطای سنسور استفاده شده است. بدین صورت که با تخمين خطای سنسور و کم کردن آن از خروجی اندازه گیری شده، یک سنسور مجازی بدون خطا در اختیار خواهیم داشت که از آن می‌توان جهت تولید ورودی کنترل استفاده نمود. در [۲۱] از ایده تشخیص روی خط سیگنال کنترلی^۱ جهت جبران خطای محرک استفاده شده است.

در این مقاله در ادامه کارهای انجام گرفته در زمینه طراحی FTC مبتنی بر تخمين خطای و جبران سازی آن، رویکرد متفاوتی برای این منظور ارائه می‌گردد. شکل ۱ بلوک دیاگرام مورد نظر مقاله را جهت طراحی FTC نشان می‌دهد. ویژگی شاخص این روش استفاده از ایده رویتگر دینامیکی [۲۲] جهت تخمين همزمان حالتها و بازسازی خطای بدون نیاز به افزایش غیرضروری مرتبه سیستم می‌باشد. رویتگر دینامیکی، تعیین یافته رویتگر معمولی لیونبرگر است با این تفاوت که بهره آن، یک بهره دینامیکی است. با استفاده از درجه آزادی موجود در رویتگر دینامیکی می‌توان در یک روال طبیعی مساله "تخمين همزمان حالتها و بازسازی خطای" را به حل یک "مساله کنترل" تبدیل نمود. همچنین در این روش نیازی به پیکربندی مجدد کنترل کننده جهت جبران و یا تحمل خطای رخ داده شده در اجزای مختلف سیستم نمی‌باشد و قانون کنترل تابعی خطی از تخمين حالتای سیستم و خطای بازسازی شده است و بگونه‌ای طراحی می‌شود که پایداری و عملکرد سیستم حلقه بسته در حضور خطای و اغتشاش حفظ شود. چنانکه خواهیم دید فرآیند طراحی FTC در قالب یک الگوریتم ساختار یافته مبتنی بر نامساوی ماتریسی خطی (LMI) که براحتی توسط نرم افزار MATLAB قابل پیاده سازی است صورت می‌پذیرد.

شایان ذکر است که در [۱۹] نیز ساختار مشابهی نظری شکل ۱ جهت طراحی FTC برای کلاس خاصی از سیستم‌های توصیفی ارائه شده است که از تخمين خطای محرک در طراحی کنترل کننده استفاده می‌کند. اما رویکرد ارایه شده در این مقاله متفاوت از [۱۹] است. روش ارایه شده در [۱۹] در صورتی معتبر است که مشتق خطای تا یک مرتبه مشخص محدود باشد. با این فرض جهت بازسازی خطای محرک، خطای و مشتقات آن به عنوان حالت‌های جدید به حالت‌های سیستم اولیه افزوده می‌گردد و در نهایت برای سیستم افزوده شده جدید یک رویتگر طراحی می‌شود که بتواند حالت‌های سیستم و خطای را همزمان تخمين

عوامل بروز خطا در سیستم‌های کنترل به حساب آیند. امروزه طراحی کنترل کننده‌هایی که بتوانند این خطای را در سیستم تشخیص داده (تشخیص خطای^۲) و در حضور این خطایها پایداری و عملکرد مطلوب سیستم را حفظ کنند (تحمل خطای^۳) در کانون توجه پژوهشگران قرار گرفته است. این گونه کنترل کننده‌ها اصطلاحاً کنترل کننده‌های تحمل پذیر خطا^۴ و یا به اختصار FTC نامیده می‌شوند [۳].

با مراجعه به کارهای انجام گرفته طی سالهای اخیر دو نوع رویکرد متفاوت را جهت طراحی FTC می‌توان مشاهده نمود: فعال و غیرفعال.

برای مرور این رویکردها می‌توان به [۴-۵] مراجعه کرد. در روش‌های غیرفعال نظری آنچه که در [۵-۹] برای سیستم‌های خطی تغییرناپذیر با زمان گزارش شده اند، خطایها صرفاً بصورت نامعینی های FTC ساختاریافته یا بدون ساختار در نظر گرفته می‌شوند و طراحی مستقیماً در قالب حل یک مساله کنترل مقام استاندارد صورت می‌پذیرد که برای حل آن روش‌های شناخته شده‌ای وجود دارد [۱۰]. عمدۀ ترین ضعف چنین کنترل کننده‌هایی در محافظه کار بودن آنها است ولی بهر حال با توجه به ساختار ثابت کنترل کننده پیاده‌سازی آنها از پیچیدگی چندانی برخوردار نیست. در مقابل روش‌های فعال مبتنی بر تشخیص خطای می‌باشد. بدین مفهوم که در این نوع کنترل کننده‌ها، خطای‌های احتمالی در سیستم بطور روی-خط تشخیص داده شده و برای جبران این خطایها، پارامترهای کنترل کننده (یا قانون کنترل) به روز می‌شوند. در مقایسه با روش‌های غیرفعال، روش‌های فعال نیاز به توان محاسباتی بیشتری جهت پیاده‌سازی دارند ولی محافظه کاری آنها کمتر است.

یکی از رویکردهای فعال در طراحی FTC مبتنی بر تخمين خطای و استفاده از آن در طراحی کنترل کننده جهت جبران خطای می‌باشد. ویژگی شاخص این رویکرد را می‌توان در سادگی و عدم نیاز به پیکره بندی دوباره کنترل کننده دانست و بدین لحظه در سالهای اخیر روش‌های نظری متعددی برای آن ارائه شده است و همچنان نیز در کانون توجه پژوهشگران قرار دارد. به عنوان مثال می‌توان به روش‌های طراحی مبتنی بر رویتگر با ورودی ناشناخته^۵ [۱۱-۱۳]، استفاده از رویتگر مدل لغزشی^۶ [۱۴-۱۵]، استفاده از رویتگر خطی جهت بازسازی

¹ Fault Detection

² Fault Tolerant

³ Fault Tolerant Control (FTC)

⁴ Unknown Input Observer (UIO)

⁵ Sliding Mode Observer

$$\begin{cases} \dot{x} = Ax + Bu + Ff + Ed \\ y = Cx + v \end{cases} \quad (1)$$

که در آن $x \in R^n$ حالت‌های سیستم، $u \in R^m$ ورودی کنترل، $y \in R^p$ خروجی اندازه گیری شده، $f \in R^q$ خطاهای احتمالی در محرک و یا اجزای سیستم، $d \in R^K$ بیانگر اختشاش (ورودی‌های ناشناخته) و $v \in R^P$ نویز اندازه گیری می‌باشد. ماتریس‌های ثابت E, F, C, B, A دارای ابعاد مناسب هستند. همچنین فرض کنید (A, B) کنترل پذیر، (A, C) رویت پذیر، F و B دارای مرتبه کامل ستونی باشند.

همانطوریکه در شکل ۱ نشان داده شده است، هدف اصلی در طراحی رویتگر همزمان خطوط و حالت‌ها، طراحی یک سیستم دینامیکی می‌باشد که با پردازش u و y ، سیگنالهای \hat{x} و \hat{f} که برتریت تخمینی از حالت x و خطاهای f می‌باشند را تولید نماید. در حالت کلی، تحقق فضای حالت سیستم دینامیکی فوق را می‌توان بصورت زیر در نظر گرفت.

$$V : \begin{cases} \dot{x}_v = Mx_v + N_1 u + N_2 y \\ \hat{x} = Q_1 x_v + Q_2 y \\ \hat{f} = R_1 x_v + R_2 y \end{cases} \quad (2)$$

که $N_1, N_2, M, Q_1, Q_2, R_1, R_2 \in R^{n_v}$ می‌باشد. ماتریس‌های ثابت M, N_1, N_2 دارای ابعاد مناسب هستند و باید طراحی شوند. ساختار یک رویتگر دینامیکی برای سیستم (1) به صورت زیر می‌باشد.

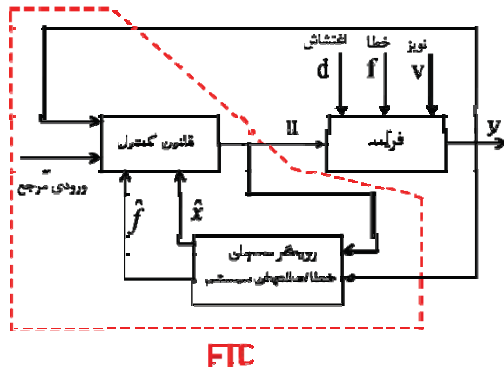
$$\begin{cases} \dot{\hat{x}} = A\hat{x} + Bu + \eta \\ \hat{y} = C\hat{x} \end{cases} \quad (3)$$

که در آن $\hat{x} \in R^n$ تخمینی از x و η یک ورودی کنترل جدید محاسبه می‌شود که از رابطه زیر بدست می‌آید:

$$\eta = K_L(y - \hat{y}) \quad (4)$$

که در آن ماتریس تابع تبدیل K_L ، بهره دینامیکی رویتگر نامیده می‌شود. فرض کنید $K_L := (A_L, B_L, C_L, D_L)$ و $y - \hat{y} = \hat{y} - y$ یک آنگاه تحقق فضای حالت رابطه (4) بصورت زیر است:

بنزد. بدین ترتیب از آنجایی که خطابخشی از حالتهای سیستم در نظر گرفته می‌شود می‌تواند مرتبه سیستم را با توجه به ماهیت خطاب افزایش دهد. برخلاف روش ارائه شده در [۱۹]، در این مقاله، بدون نیاز به تحمیل شرط محدود کننده ای روی خطاب مرتبه سیستم افزایش پیدا نمی‌کند و طراحی کنترل کننده در یک روال ساده و شفاف صورت می‌گیرد. البته یادآوری این نکته نیز مناسب است که اختصاص دادن مدلی برای خطاب و در نظر گرفتن آن بعنوان بخشی از حالتهای سیستم نیز قبلا از [۱۹] در مقالات تشخیص خطاب متداول بوده است و از این لحاظ ایده جدیدی محسوب نمی‌شود، بعنوان مثال می‌توان به فصل پنجم در [۲۳] مراجعه نمود.



شکل ۱: ساختار کلی ارایه شده برای کنترل کننده تحمل پذیر خطوط (FTC)

ساختار مقاله به این صورت تنظیم شده است. در بخش ۲ روشی برای تخمین همزمان حالتهای سیستم و خطاب با استفاده از رویتگر دینامیکی ارائه می‌شود. در بخش ۳ با طرح یک مساله حذف اختشاش رویکردی جهت طراحی یک قانون کنترل خطی مبتنی بر فیدبک حالت ارایه می‌گردد و در نهایت یک الگوریتم ساختاریافه روند طراحی کنترل کننده FTC را خلاصه می‌کند. در بخش ۴ رویکرد ارایه شده در مقاله بر روی فرآیند چهار تانک اعمال شده و نتایج شبیه‌سازی‌های کامپیوتری آن گزارش می‌شود. در نهایت نتیجه گیری و پیشنهادهایی برای ادامه پژوهش در بخش ۵ بیان می‌گرددند.

۲- طراحی رویتگر همزمان خطاب و حالت‌ها

همانطوریکه در مقدمه بیان گردید در اینجا جهت تخمین همزمان خطاب و حالتهای سیستم یک رویتگر دینامیکی مقاوم طراحی می‌گردد. برای این منظور سیستم خطاب تغییر ناپذیر با زمان زیر را در نظر بگیرید:

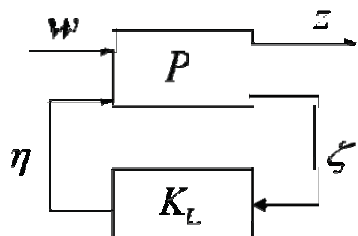
اینک با حل یک مساله استاندارد زیرینه‌ی کنترل H_{∞} می‌توان بهره‌ی رویتگر دینامیکی K_L بدست آورد.

مسئله ۱: فرآیند تعمیم یافته در (۹) را مطابق شکل ۲ در نظر بگیرید. فرض کنید $\gamma > 0$ داده شده است. کنترل کننده را بگونه‌ای بیایید که $\gamma < \|T_{z\omega}\|_{\infty}$ گردد که در آن $T_{z\omega}$ ماتریس تابع تبدیل از ω به Z می‌باشد.

مساله ۱ را می‌توان بر احتی توسط جعبه ابزار کنترل مقاوم در MATLAB حل نمود [۲۴]. با حل مساله ۱ و بدست آوردن K_L ، تخمین خط از رابطه $F\hat{f} = \eta$ بدست می‌آید. با توجه به اینکه رتبه سنتونی کامل دارد می‌توان نتیجه گرفت

$$\hat{f} = F^{\dagger} \eta \quad (10)$$

که \hat{f} بیانگر معکوس مجازی با رابطه $F^{\dagger} = (F^T F)^{-1} F^T$ است.



شکل ۲: یک ساختار استاندارد جهت طراحی رویتگر دینامیکی

توجه ۱: مطابق رابطه (۱۰) با توجه به در دسترس بودن \hat{f} ، نه تنها می‌توان خطای رخ داده شده در سیستم (محرک) را تشخیص داد بلکه می‌توان محل آن را نیز تعیین نمود. در حقیقت حل مساله ۱، راهکاری مفید جهت تشخیص و محل یابی خط (FDI) محسوب می‌شود [۱]. با ترکیب روابط (۳)، (۵) و (۱۰) می‌توان نشان داد که ماتریسهای ثابت رویتگر همزمان خط و حالات‌های سیستم در رابطه (۲) بصورت زیر بدست می‌آیند:

$$x_v = \begin{pmatrix} \hat{x} \\ x_k \end{pmatrix}, M = \begin{pmatrix} A - D_L C & C_L \\ -B_L C & A_L \end{pmatrix}$$

$$N_1 = \begin{pmatrix} B \\ 0 \end{pmatrix}, \quad N_2 = \begin{pmatrix} D_L \\ B_L \end{pmatrix}, \quad Q_1 = I, \quad Q_2 = 0$$

$$\begin{cases} \dot{x}_k = A_L x_k + B_L \zeta \\ \eta = C_L x_k + D_L \zeta \end{cases} \quad (5)$$

که در آن $x_k \in R^{n_k}$. اگر در رابطه (۴)، $K_L = L$ بهره ثابت در نظر گرفته شود ($K_L = L$) در اینصورت رویتگر دینامیکی (۳) تبدیل به رویتگر لیونبرگ معمولی با معادله

$$\dot{x} = Ax + Bu + L(y - \hat{y}) \quad (6)$$

خواهد شد. شایان ذکر است که اگر روش ارایه شده در این مقاله بر مبنای رابطه (۶) بیگیری شود در نهایت به یک مساله کنترل با فیدبک خروجی استاتیک منجر خواهد شد که در حالت کلی مساله سختی است. در حقیقت درجه آزادی موجود در رویتگر دینامیکی مانع از بروز این مشکل خواهد شد. حال خطای تخمین حالتها را با e_x نشان داده و به صورت $e_x = x - \hat{x}$ تعریف می‌کنیم. برای \dot{e}_x به کمک روابط (۱) و (۳) داریم:

$$\dot{e}_x = Ae_x + Ff + Ed - \eta \quad (7)$$

در رابطه (۷)، η نقش ورودی کنترل را بازی می‌کند. هدف، طراحی η به گونه‌ای است که دینامیک خطای (۷) را پایدار مجانبی نماید و η تخمینی از Ff شود. برای رسیدن به این هدف مقیاس تخمین خط را بصورت $z = Ff - \eta$ تعریف می‌کنیم. حال با کثار هم گذاشتن روابط فوق معادلات زیر را خواهیم داشت.

$$\dot{e}_x = Ae_x + Ff + Ed - \eta$$

$$z = Ff - \eta \quad (8)$$

$$\zeta = y - \hat{y} = Ce_x + v$$

در حقیقت معادلات (۸)، یک فرآیند تعمیم یافته P با معادلات فضای حالت استاندارد زیر را توصیف می‌کنند.

$$P: \begin{cases} \dot{e}_x = Ae_x + B_1 w + B_2 \eta \\ z = C_1 e_x + D_{11} w + D_{12} \eta \\ \zeta = C_2 e_x + D_{21} w + D_{22} \eta \end{cases} \quad (9)$$

$$w = \begin{bmatrix} f \\ d \\ v \end{bmatrix} \quad \text{که در آن}$$

$$C_1 = 0, \quad B_2 = -I, \quad B_1 = \begin{bmatrix} F & E & 0 \end{bmatrix}$$

$$D_{22} = 0, \quad D_{12} = -I, \quad D_{11} = \begin{bmatrix} F & 0 & 0 \end{bmatrix}, \quad C_2 = C$$

$$D_{21} = \begin{bmatrix} 0 & 0 & I \end{bmatrix}$$

$$\text{که در آن ماتریس‌های بهره ثابت } K = \begin{pmatrix} K_1 & K_2 \end{pmatrix} \text{ و } R_2 = F^\dagger D_L \text{ و } R_1 = \begin{pmatrix} -F^\dagger D_L C & F^\dagger C_L \end{pmatrix} \quad (11)$$

با استی تحقق اهداف ۱ تا ۴ به نحو مناسبی طراحی شوند.

با تعریف متغیرهای

$$e_f = f - \hat{f}, \quad e_\xi = \hat{\xi} - \xi \quad (16)$$

و با جایگذاری (۱۶) در (۱۳) می‌توان نوشت:

$$\begin{aligned} \dot{\xi} &= (\mathbf{A} - \mathbf{B}K)\xi + (\mathcal{F} - \mathbf{B}K_f)f + \mathcal{E}\phi \\ &\quad + \mathbf{B}Ke_\xi - \mathbf{B}K_f e_f \end{aligned} \quad (17)$$

با توجه به رابطه (۱۷) در صورتی اثر خطای روی عملکرد سیستم جبران

می‌شود که بهره K_f بصورت زیر انتخاب شود

$$K_f = \mathbf{B}^\dagger \mathcal{F} \quad (18)$$

که در آن همانند قبل \mathbf{B}^\dagger معکوس مجازی با رابطه $\mathbf{B}^\dagger = (\mathbf{B}^T \mathbf{B})^{-1} \mathbf{B}^T$ می‌باشد. در اینصورت بوضوح می‌توان دید که $\mathcal{F} - \mathbf{B}K_f = 0$ و بدین ترتیب اثر خطای f بر روی سیستم افزوده شده (۱۷) از بین می‌رود.

حال با تعریف مقیاس عملکرد کنترل بصورت $\xi_c = H\xi$

که در آن $H \in \mathbb{R}^{p \times n}$ ماتریس وزنی معلومی می‌باشد می‌توان نوشت:

$$\begin{cases} \dot{\xi}_c = (\mathbf{A} - \mathbf{B}K)\xi + \mathcal{E}\phi + \mathbf{B}Ke_\xi - \mathbf{B}K_f e_f \\ z_c = H\xi \end{cases} \quad (19)$$

با توجه به اینکه با گذشت زمان، e_f و e_ξ (خطای تخمین خطای / حالت) به سمت صفر می‌کنند. لذا با صرفنظر کردن از اثر آنها در رابطه (۱۹) می‌توان جهت تعیین بهره فیدبک حالت K مساله تضییف اغتشاش زیر را بیان نمود.

مساله ۲: فرض کنید $0 < \beta < \gamma$ داده شده است. بهره‌ی فیدبک حالت K را بگونه‌ای باید که سیستم حلقه بسته (۱۹) را پایدار مجانی نماید و $\|T_{z_c \phi}\|_\infty < \beta$ شود که در آن $T_{z_c \phi}$ ماتریس تابع تبدیل از

ϕ به z_c می‌باشد.

برای حل مساله ۲ می‌توان از قضیه Bounded Real Lemma استفاده نمود [۱۰]. مطابق این قضیه مهم در سیستم (۱۹) قید

$$P = P^T > 0 \quad \text{برقرار است اگر} \quad \beta > 0 \quad \text{و} \quad \|T_{z_c \phi}\|_\infty < \beta$$

وجود داشته باشند بطوریکه در نامساوی ماتریسی زیر صدق کنند

۳- طراحی FTC

در این بخش با استفاده از رویتگر دینامیکی مقاوم (۲) روشنی جهت طراحی FTC ارائه می‌گردد. در اینجا، قانون کنترل تابعی خطی از تخمین حالت‌های سیستم و خطای بازسازی شده است و با استی بتواند اهداف زیر را برآورده نماید:

(۱) پایدار سازی سیستم حلقه بسته

(۲) ردیابی ورودی مرجع توسط خروجی

(۳) تضعیف اثر اغتشاش بر روی عملکرد سیستم حلقه بسته

(۴) جبران سازی اثر خطای

جهت تحقق اهداف ۱ و ۲ می‌توان از کنترل کننده انتگرال گیر فیدبک فضای حالت استفاده نمود. برای این منظور انتگرال خطای ردیابی $y - r = e_r$ بصورت زیر تعریف می‌شود

$$\dot{e}_r = e_r \quad (12)$$

که در آن r ورودی مرجع می‌باشد که باستی توسط خروجی y ردیابی شود. حال با افزودن متغیر حالت جدید در (۱۲) به معادله فضای حالت (۱) معادله سیستم افزوده شده زیر بدست می‌آید:

$$\dot{\xi} = \mathbf{A}\xi + \mathbf{B}u + \mathcal{F}f + \mathcal{E}\phi \quad (13)$$

$$\phi = \begin{pmatrix} d \\ v \\ r \end{pmatrix} \quad \text{که در آن}$$

$$\xi = \begin{pmatrix} x \\ \sigma \end{pmatrix}, \quad \mathbf{A} = \begin{pmatrix} A & 0 \\ -C & 0 \end{pmatrix}, \quad \mathbf{B} = \begin{pmatrix} B \\ 0 \end{pmatrix},$$

$$\mathcal{F} = \begin{pmatrix} F \\ 0 \end{pmatrix}, \quad \mathcal{E} = \begin{pmatrix} E & 0 & 0 \\ 0 & -I & I \end{pmatrix}.$$

اینک می‌توان قانون FTC را بصورت زیر توصیف نمود:

$$u = -K\hat{\xi} - K_f \hat{f} \quad (14)$$

که در آن

$$\hat{\xi} = \begin{pmatrix} \hat{x} \\ \sigma \end{pmatrix} \quad (15)$$

گام ۲) به کمک رابطه (۱۱) ماتریس‌های موجود در رابطه (۲) را محاسبه نمایید و رویتگر همراهان خطأ / حالت را بدست آورید.

گام ۳) بهره‌ی K_f را با استفاده از رابطه (۱۸) محاسبه کنید.

گام ۴) مساله LMI در (۲۱) را حل نمایید تا P و Y بدست آید. **گام ۵)** بهره‌ی K را با استفاده از رابطه (۲۲) بدست آورید.

گام ۶) FTC را مطابق رابطه (۲۳) و شکل ۳ پیاده سازی نمایید.

شایان ذکر است که الگوریتم فوق بر احتیت توسعه جعبه ابزار کنترل مقاوم نرم افزار MATLAB قابل اجرا است [۲۴].

۴- یک مثال کاربردی : فرآیند چهارتانک

در این بخش برای نشان دادن کارایی روش پیشنهاد شده، الگوریتم طراحی FTC بر روی فرآیند چند متغیره چهار تانک اجرا گردیده و نتایج شبیه‌سازی آن ارایه می‌گردد. ساختار فرآیند چهارتانک در شکل ۴ نشان داده شده است [۲۶]. مدل خطی شده فرآیند فوق بصورت زیر است.

$$\dot{x} = \begin{bmatrix} -0.0159 & 0 & 0.0419 & 0 \\ 0 & -0.0111 & 0 & 0.033 \\ 0 & 0 & -0.0419 & 0 \\ 0 & 0 & 0 & -0.0333 \end{bmatrix} x + \begin{bmatrix} 0.0833 & 0 \\ 0 & 0.0628 \\ 0 & 0.0479 \\ 0.0312 & 0 \end{bmatrix} (u + f) + \begin{bmatrix} 0 & 0 \\ 0 & 0 \\ -0.0357 & 0 \\ 0 & -0.0313 \end{bmatrix} d$$

$$y = \begin{bmatrix} 0.5 & 0 & 0 & 0 \\ 0 & 0.5 & 0 & 0 \end{bmatrix} x + v$$

که در آن $x \in R^4$ ارتفاع سطح آب در تانک‌ها، $u = (u_1 \ u_2)^T$ ولتاژ اعمالی به پمپ‌های ۱ و ۲، $f = (f_1 \ f_2)^T$ خطای مربوط به افت عملکرد محرکه‌های ۱ و ۲، $d = (d_1 \ d_2)^T$ بیانگر انتشارش که متناسب با خروجی جریان از تانک‌های ۳ و ۴ می‌باشد و $v = (v_1 \ v_2)^T$ بیانگر نویز اندازه‌گیری بوده که بصورت نویز سفید با میانگین صفر و واریانس 0.01 در نظر گرفته شده است.

$$\begin{bmatrix} \Gamma & PH^T \\ HP & -\beta I \end{bmatrix} < 0 \quad (۲۰)$$

که

$$\Gamma = AP + PA^T - BK_P - PK^T B^T + \beta E E^T$$

چون نامساوی ماتریسی (۲۰) بر حسب K و P غیر خطی می‌باشد با استفاده از روش‌های استاندارد حل مسائل LMI، نمی‌توان آن را حل نمود. برای رفع این مشکل، مطابق راهکارهای موجود در مقالات LMI می‌توان از تغییر متغیر در نامعادله (۲۰) سود جست. با تعریف $Y = KP$ جواب مساله ۲ با حل مساله استاندارد LMI زیر بدست می‌آید [۲۵].

قضیه ۱ : فرض کنید $\beta > 0$ داده شده است. اگر ماتریس‌های

$$P = P^T > 0 \quad Y > 0 \quad \text{وجود داشته باشند بگونه‌ای که در}$$

نامساوی ماتریسی زیر صدق کنند

$$\begin{bmatrix} \Gamma & PH^T \\ HP & -\beta I \end{bmatrix} < 0 \quad (۲۱)$$

که در آن آنگاه

$$\Gamma = AP + PA^T - BY - Y^T B^T + \beta E E^T \quad \text{و بهره استاتیک } K \text{ از رابطه} \quad \|T_{z_c \phi}\|_\infty < \beta$$

$$K = YP^{-1} \quad (۲۲)$$

بدست می‌آید.

از ترکیب روابط (۲)، (۱۱) و (۱۴) دینامیک FTC با معادلات فضای حالت زیر توصیف می‌شود:

$$\begin{cases} \dot{x}_v = Mx_v + N_1\mu + N_2y \\ \dot{\sigma} = r - y \\ u = -(K_1Q_1 + K_fR_1)x_v - K_2\sigma - K_fR_2y \end{cases} \quad (۲۳)$$

شکل (۳) بلوک دیاگرام کلی سیستم حلقه بسته را نشان می‌دهد. اینک می‌توان مراحل طراحی FTC را توسط الگوریتم ساختاریافته زیر بصورت فهرست وار بیان نمود:

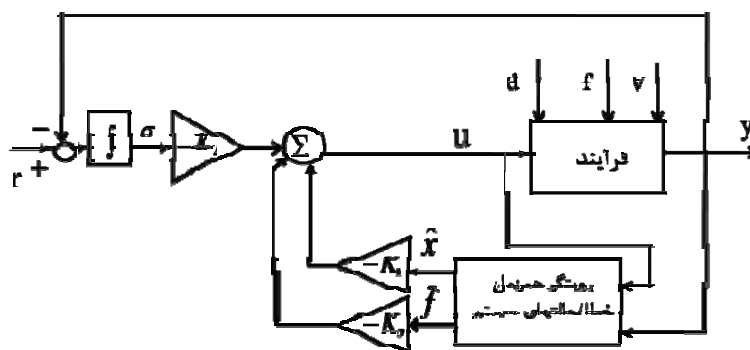
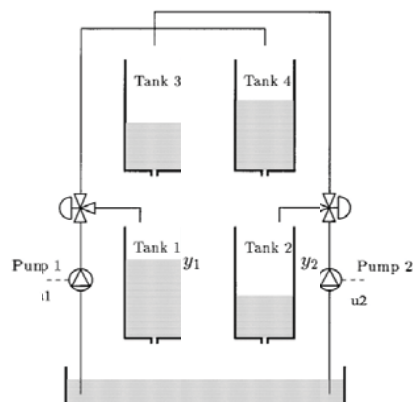
الگوریتم طراحی

داده‌ها : A, B, C, E, F و H

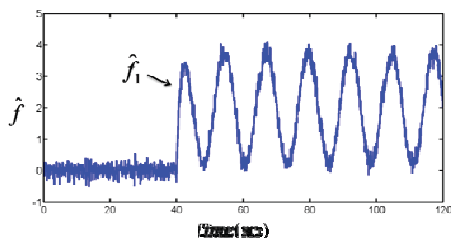
گام ۱) مساله ۱ را حل کنید تا بهره‌ی دینامیکی رویتگر K_L بدست آید.

شکل ۴: فرآیند چند متغیره چهار تانک [۲۶]

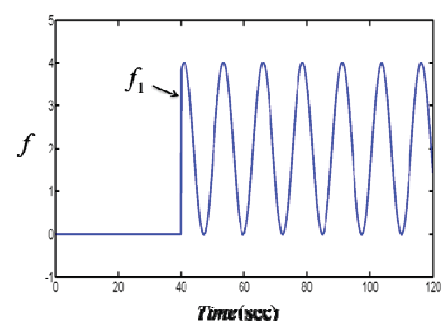
برای شبیه سازی، فرض شده است تنها محرک ۱ دچار خطای نشان داده شده در شکل ۵ گردیده است و اختشاش d_1 نیز مطابق شکل ۶ به فرایند اعمال شده است. تخمین خط را می‌توان در شکل ۷ دید.



شکل ۳: ساختار کلی پیشنهاد شده جهت طراحی FTC

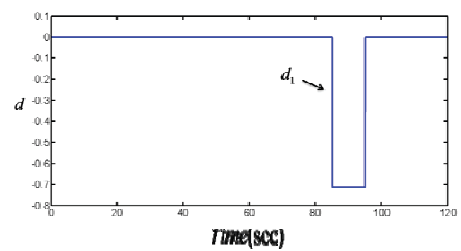


شکل ۷: تخمین خطای محرک ۱



شکل ۵: خطای رخ داده در محرک ۱

همانطوریکه در شکل ۷ دیده می‌شود، رویتگر دینامیکی بخوبی توانسته است در حضور اختشاش تخمین قابل قبولی از خطای محرک را تولید نماید. باید توجه داشت که هر قدر مقدار γ در مساله ۱ کمتر باشد، تخمین خط با کیفیت بهتری صورت می‌پذیرد. در اینجا $\gamma = 0.08$ بدست می‌آید. در شکل ۸، ورودی‌های کنترل u نیز نشان داده شده اند. با توجه به اینکه ورودی‌های کنترل در این مثال و لاثاز اعمالی به موتور می‌باشد، مطابق شکل ۸ دیده می‌شود که تغییرات ورودی‌های کنترل در حد قابل قبول می‌باشند و پیاده سازی عملی روش ارایه شده با محدودیت جدی موواجه نخواهد شد. خروجی سیستم بدون در نظر گرفتن خطای تخمین زده شده در قانون کنترل (۱۴)، در شکل ۹ نشان داده شده است. همانطوریکه در این شکل می‌توان دید وقوع خطای در محرک ۱ باعث می‌شود که خروجی نتواند ورودی مرجع را با کیفیت



شکل ۶: اختشاش اعمال شده به فرایند

تغییرناپذیر با زمان پیشنهاد گردید. این رویکرد مبتنی بر استفاده از رویکرد دینامیکی است که وظیفه تخمین همزمان حالتها و خطأ را بر عهده دارد. مزیت اصلی این رویکرد فعال، در تبدیل مساله "تخمین همزمان حالتها و خطأ" به حل یک "مساله کنترل" بدون افزایش مرتبه سیستم می‌باشد. در این رویکرد ساختار FTC پیشنهاد شده بگونه‌ای است که اگر خطابی در سیستم (محرك) رخ دهد، قانون کنترل علاوه بر استفاده از تخمین حالتها، از تخمین خطأ نیز استفاده کرده و اثر خطأ را بر روی پایداری و عملکرد سیستم جبران می‌کند. در رویکرد ارائه شده، مساله طراحی FTC به حل یک مساله نامساوی ماتریسی خطی (LMI) منجر می‌شود که می‌توان برآحتی آن را توسط نرم افزار MATLAB حل نمود. مراحل طراحی بطور شفاف در قالب یک الگوریتم ساختار یافته ارائه گردید و کارایی آن با انجام شیوه سازی‌های کامپیوتری بر روی فرآیند چهارتانک نشان داده شد. این پژوهش را می‌توان در کارهای آینده بصورتهای مختلف ادامه داد. بعنوان مثال رویکرد ارائه شده در این مقاله را می‌توان به سیستمهای فضای حالت نامعین خطی و غیرخطی تعمیم داد. برای این منظور کافی است نامعینی‌های ساختاریافت و بدون ساختار را در ماتریسهای سیستم در نظر گرفت و از روش‌های موجود در کنترل مقاوم استفاده نمود. همچنین اگرچه در این مقاله شیوه سازی بر روی فرآیند ۴ تانک کارایی روش ارایه شده را بخوبی نشان داد اما می‌توان با پیاده سازی آن روی فرآیند واقعی کارایی عملی این روش را نیز مورد بررسی و پژوهش قرار داد و نتایج آن را با شبیه‌سازی مقایسه نمود این مورد از این حیث حائز اهمیت است که روش ارایه شده در این مقاله از سهولت چشمگیری جهت پیاده سازی برخوردار است.

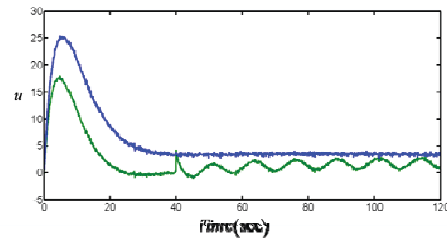
سپاسگزاری

در اینجا لازم است از نظرات مفید و سازنده داوران محترم مجله که باعث ارتقا کیفیت مقاله گردید نهایت تشکر و قدردانی بعمل آید. این کار تحت حمایت آزمایشگاه تحقیقاتی کنترل پیشرفته گروه کنترل دانشکده مهندسی برق دانشگاه صنعتی سهند تبریز انجام پذیرفته است.

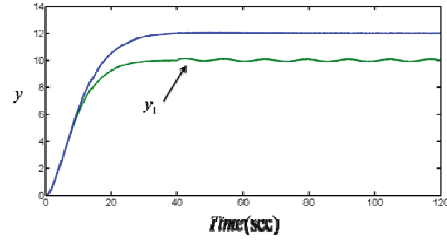
مراجع

- [1] J. Chen and R. J. Patton, *Robust model-based fault diagnosis for dynamic systems*. Norwell, MA: Kluwer, 1999.
- [2] L. H. Chiang, E. L. Russell, and R. D. Braatz, *Fault detection and diagnosis in industrial systems*. London, U.K.: Springer-Verlag, 2001.
- [3] R. J. Patton, "Fault tolerant control: The 1997 situation," In the Proceeding of the 3rd IFAC symposium on fault detection, supervision and safety for technical processes, pp. 1033-1055, 1997.

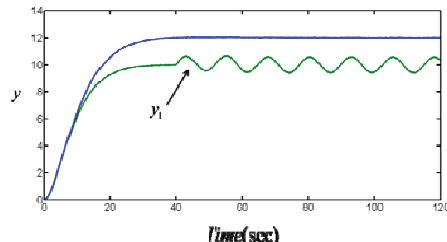
قابل قبولی ردیابی نماید. شکل ۱۰ خروجی سیستم با در نظر گرفتن FTC نشان داده شده است. با توجه به این شکل، با استفاده از هنگام بروز خطای محرك و در حضور اغتشاش، خروجی به خوبی توانسته است ورودی مرجع را ردیابی نماید و عملکرد سیستم بنحو قابل ملاحظه ای بهبود یافته است. البته با اعمال خطاهای ثابت (بایاس) و متغیر با زمان دیگری نیز می‌توان نتایج مشابهی را در مورد کارایی روش ارایه شده در این مقاله بدست آورد. بهر تقدیر، با توجه به نتایج شیوه سازیها می‌توان مشاهده نمود که راهکار ارایه شده در این مقاله جهت طراحی FTC از قابلیت قابل ملاحظه ای جهت تضمین پایداری سیستم حلقه بسته و جلوگیری از افت عملکرد آن هنگام بروز خطای محرك و اغتشاشهای ناخواسته برخوردار است.



شکل ۸: ورودی‌های کنترل فرآیند



شکل ۹: خروجی سیستم بایان وجود FTC



شکل ۱۰: خروجی‌ها بدون در نظر گرفتن تخمین خطأ در قانون FTC

۵- نتیجه‌گیری و کارهای آینده

در این مقاله یک رویکرد فعال جهت طراحی کنترل کننده تحمل پذیر خطأ یا همان FTC به منظور داشتن پایداری و عملکرد مطلوب در سیستم حلقه - بسته در حضور خطأ و اغتشاش برای سیستمهای خطی

- [16] C. P. Tan, and M. K. Habib, "Implementation of a sensor fault reconstruction scheme on an inverted pendulum," *5th Asian Control Conference*, Vol. 3, pp. 1423-1428, 2004.
- [17] C. P. Tan, and M. K. Habib, "A robust sensor fault tolerant control scheme implemented on a flexible joint," *Proceedings of the 2004 IEEE Conference on Robotics, Automation and Mechatronics*, Singapore , pp. 370-375, 2004.
- [18] Z. Gao, and S. X. Ding, "Actuator fault robust estimation and fault-tolerant control for a class of nonlinear descriptor systems," *Automatica*, Vol. 43, pp. 912-920, 2007.
- [19] Z. Gao, and S. X. Ding, "Sensor fault reconstruction and sensor compensation for a class of nonlinear state-space systems via a descriptor system approach," *IET Control Theory and Application*, Vol. 3, pp. 578-585, 2007.
- [20] C. Edwards, and C. P. Tan, "Sensor fault tolerant control using sliding mode observers," *Control Engineering Practice*, Vol. 14, pp. 897-908, 2006.
- [21] H. Alwi, and C. Edwards, "Fault tolerant control using sliding modes with on-line control allocation," *Automatica*, Vol. 44, pp. 1859-1866, 2008.
- [22] H. J. Marquez, and M. Riaz, "Robust state observer design with application to an industrial boiler system," *Control Engineering Practice*, Vol. 13, pp. 713-728, 2006.
- [23] R. S. Mangoubi, *Robust estimation and failure detection*, Springer, 1998.
- [24] G. Balas, R. Chiang, A. Packard, and M. Safonov, *Robust control toolbox: user guides*. The MathWorks, Inc, 2007.
- [25] S. Boyd, L. El-ghaoui, E. feron, and V. Balakrishnan, *Linear Matrix Inequality in Systems and Control Theory*, SIAM: Philadelphia, 1994.
- [26] K. H. Johansson, "The quadruple-tank process: a multivariable laboratory process with an Adjustable Zero," *IEEE Transaction on Automatic Control*, Vol. 8, NO. 3, pp. 456-465, 2000.
- [4] Y. Zhang and J. Jiang, "Bibliographical review on reconfigurable fault-tolerant control systems," *Annual reviews in control*, Vol 32, pp. 229-252, 2008.
- [5] H. Niemen, and J. Stoustrup, "Passive fault tolerant control of double inverted pendulum – a case study," *Control Engineering Practice*, Vol. 13, pp. 1047-1059, 2005.
- [6] Sh. Suryanarayanan, M. Tomizuka, and T. Suzuki, " Design of simultaneously stabilizing controllers and its application to fault-tolerant lane-keeping controller design for automated vehicles," *IEEE Transaction on Control Systems Technology*, Vol 12, NO 3, pp. 329-339, 2004.
- [7] J. Stoustrup and V. D. Blondel, "Fault tolerant control: a simultaneous stabilization result," *IEEE Transaction on Automatic Control*, Vol. 49, NO. 2, pp. 305-310, 2004.
- [8] D. U. Campos-Delgado, S. M. Martinez, and K. Zhou, "Integrated fault tolerant scheme with disturbance feedforward," *Proceeding of the 2004 American Control Conference*. Boston, Massachusetts, pp. 1799-1804, 2004
- [9] M. Marx, D. Koenig, and D. Georges, "Robust fault-tolerant control for descriptor systems," *IEEE Transaction on Automatic Control*, Vol. 49, NO. 10, pp. 1869-1875, 2004.
- [10] K. Zhou and J. C. Doyle, *Essential of robust control*, Upper Saddle River, NJ: Prentic-Hall, 1998.
- [11] M. Hou, and P. C. Muller, "Design of observer for linear systems with unknown inputs," *IEEE Transactions on Automatic Control*, Vol. 37, pp. 871-875, 1992.
- [12] S. Hui, and S. H. Zak, "Observer design for systems with unknown inputs," *International Journal of Applied Mathematics and Computer Science*, Vol. 15, pp. 431-446, 2005.
- [13] G. Yuying, J. Bin, Z. Youmin, and W. Jianfei, "Novel robust fault diagnosis method for flight control systems," *Journal of Systems Engineering and Electronics*, Vol. 19, pp. 1017-1023, 2008.
- [14] C. Edwards, S. K. Spurgeon, and J. Patton, "Sliding mode observer for fault detection and isolation," *Automatica*, Vol. 36, pp. 541-553, 2000.
- [15] C. P. Tan, and C. Edwards, "Sliding mode observer for detection and reconstruction of sensor faults," *Automatica*, Vol. 38, pp. 1815-1821, 2002.